

なつたと、き実際操業中の溶鉱炉で測定したごとくベル上に山を形成した。

大ベル上に原料を装入した後にウインチを作動してベルを降下させた。そのときの降下速度は 600 mm/s である。装入はこのような方法でくりかえし行なつた。

b) ベースコークスについて

当実験装置においては、最初に装入されるものが床のコンクリートにあたるわけで、これは実際操業と比較し大変ことなつた状態である。そこでこれを修正すべくコークスにて山を形成した。これをベースコークスとよんだ。

c) 実験内容

今回の実験にて調査したおもな項目はつぎの 4 項目である。

- (i) 鉱石およびコークスのウェアリングプレートとの衝突位置の測定。
- (ii) 鉱石およびコークスの装入層の形状測定。
- (iii) 鉱石およびコークスの装入前後の粒度分布測定
- (iv) 鉱石およびコークスの装入層における空間体積の測定。

以上 4 項目について原料配合を変えあるいはコークスの量、ベースコークスの形を変化させて実験をおこなつた。ただし各回共副原料についてはその配合におうじて装入した。また 2 回の実験に関しては、完全整粒鉱石使用と粉塊混合鉱石使用にておこないその他は当時使用していた鉱石をそのままの姿で使用した。

IV. 総括

今回の実験結果を総括すると大体つぎのごとくなる。

(1) 現在の当所 No.2 B.F. における装入分布型は V 型と推定される。このさい鉱石およびコークスの安息角はそれぞれ約 $25^\circ \sim 35^\circ$ と $21^\circ \sim 35^\circ$ であつた。

(2) 装入分布型からみて $1.5 \sim 2.0$ m 捲の時がもつとも平均して鉱石、コークスが装入されると思われる。

(3) コークス量の変化による装入分布型の変化は認められなかつた。

(4) 装入後の粒度分布はかなりずしも粉鉱が炉壁に多く塊鉱が中心に多いという原則通りではないが、一応その姿をなしている。

(5) 整粒鉱石使用の場合と粉塊混合の場合との比較では空間体積(鉱石)が前者の方が後者より $0.7 m^3 \sim 0.8 m^3$ 程度 one charge について大であることがわかつた。

(6) 空間体積については焼結鉱の配合の多い程空間体積が大であることが判つた。

(7) 鉱石およびコークスとウェアリングプレートとの衝突位置は鉱石とコークスとで大きな差はなかつた。

(8) ベースコークスの形に関してはたしかな結論はえられなかつた。

すなわち、大きくみて V 型装入型であることと、鉱石のサイジングの必要性を認めた。Fig. 3 に装入型の一例をしめした。

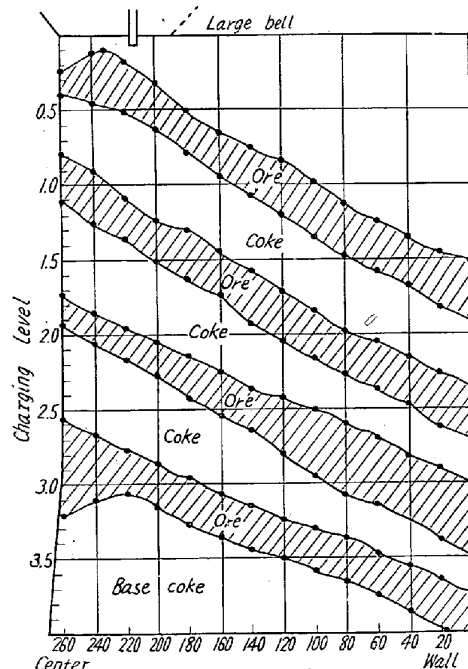


Fig. 3. Example of distribution of ore and coke.

なお、今後の実験の進め方としてはいかなる装入分布型あるいは空間体積が溶鉱炉操業にもつとも良い結果をあたえるかという問題を解決する方向に進めなくてはならないと考える。

(12) 高炉内反応系の一考察

(高炉のコークス比におよぼす因子についての検討—I)

神戸製鋼所灘浜工場

杉沢 英男・松尾 英一・○小島 勢一

A Consideration on the Reaction System in the Blast Furnace.

(Studies on the factor effective to coke ratio of a blast furnace—I)

Hideo Sugisawa, Eiichi Matsuo
and Seiichi Kojima.

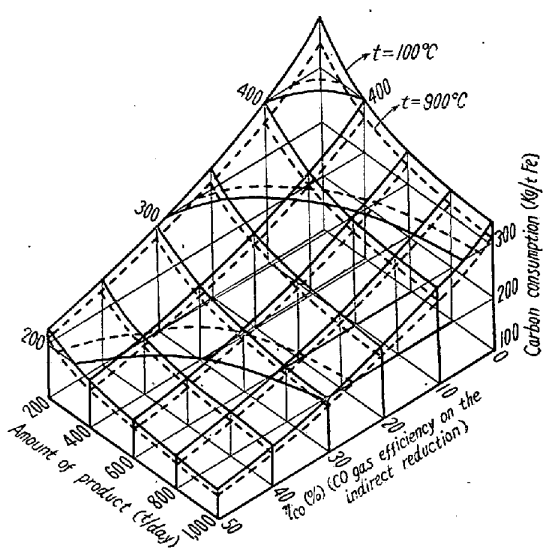


Fig. 1. Influence of the produce, η_{CO} and the oxygen temperature (t) on the carbon consumption of the typical blast furnace.

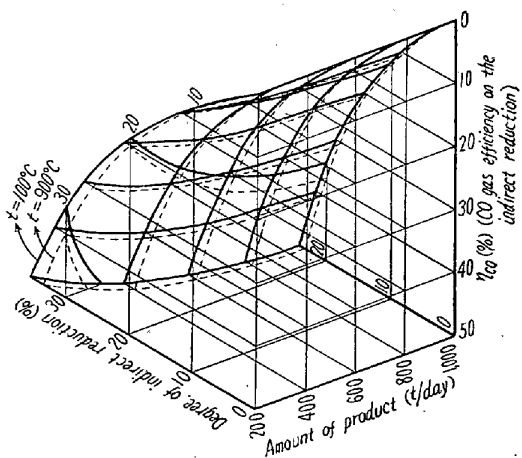


Fig. 2. Influence of the produce, and the oxygen temperature (t) on the degree of indirect reduction in the typical blast furnace.

さがつてくる。換言すれば、 W が増加した場合、間接還元率が少なくて熱平衡を保ちうるのであり、同様に羽口より吹込まれる O_2 の顕熱が増加すると、 q が小さな値でこの系の熱平衡を保ちうることがわかつた。

VII. 結 言

以上熔鉱炉内の代表的な反応を模型化して考察し、所要炭素量におよぼす因子を熱平衡を用いて把握し、これらと間接還元率との関係も検討した。この考察に準じて実際の熔鉱炉のコーカス比に関する検討をすすめる。

文 献

- 1) T. L. JOSEPH: Blast Furn. & Steel Plant, July, August (1947) p. 944~948

(13) 瀬戸内第 1 高炉の炉内還元に関する検討

(高炉のコーカス比におよぼす因子についての検討—Ⅱ)

神戸製鋼所瀬戸内工場

杉沢 英男・松尾 英一・○小島 勢一

A Study of the Reduction in Nada-hama No. 1 Blast Furnace.

(Studies on the factor effective to coke ratio of a blast furnace—Ⅱ)

Hideo Sugisawa, Eiichi Matsuo
and Seiichi Kojima

I. 緒 言

第 1 報で簡単な熔鉱炉の反応系を仮想して、所要炭素量におよぼす因子を量的にみいだしたが、本報ではこの考察に準じて実際の熔鉱炉のコーカス比について検討した。実際の熔鉱炉では第 1 報の模型炉にふくまれない多種多様の因子が入って複雑になるが、これらは瀬戸内第 1 高炉（全内容積 752m³, 昭和 34 年 1 月 16 日火入）の実績値を用いて処理し、コーカス比におよぼす各種の因子について検討した。

II. 炉内ガス化炭素量

熔鉱炉内の炭素精算にもとづき、第 1 報に準じて炉内ガス化炭素量をもとめると次式が成立する。

$$C = \{V(0.225 + 0.00039x) + (3/4) \times (O_M - 0.0009((V\eta_{H_2}) + E)/(1 + \eta_{CO})) \dots (1)$$

ここで

C: 炉内ガス化炭素量 (kg / t pig)

V: 羽口よりの衝風量 (Nm³ / t pig)

y: 衝風中の水分 (g / Nm³)

O_M : 還元にて取除かれる酸化鉄の酸素量 (kg / t pig)

E: Si, Mn, P の還元に要する炭素量 (kg / t pig)

η_{CO} : CO ガスの間接還元への利用度

η_{H_2} : 衝風中水分々解で生じた H_2 のうち還元に利用される割合

である。

一方熔鉱炉の熱平衡を考える方法として、根本的には JOSEPH¹⁾ の方法に準じておこなうが、炉内での水素による還元を計上し、これを出熱の項に入れ、炭素および CO ガスによる還元系と切離して計算した。このさい水素による還元は、各装入酸化鉄にたいしてその配合割合におうじて還元作用がおこなわれたと見做している。これらの方法を Table 1 にしめす。表中の右側に炉内ガス化炭素量に影響のすくない項目 $x = 23$, $\eta_{H_2} = 30\%$,